

*Алиназаров Алишер Хайдаралиевич
кандидат технических наук, профессор кафедры
«Строительство и монтаж инженерных коммуникаций»
Хайдаров Шерзод Эргашалиевич
доцент кафедры «Строительство и монтаж инженерных
коммуникаций»*

Наманганский государственный технический университет

Республика Узбекистан, г. Наманган

**АНАЛИТИЧЕСКИЙ МЕТОД РЕШЕНИЯ ЗАДАЧИ
ОПРЕДЕЛЕНИЯ МОЩНОСТИ ВНУТРЕННЕГО ИСТОЧНИКА
ТЕПЛА С УЧЁТОМ СОЛНЕЧНОЙ РАДИАЦИИ В
КОМПОЗИЦИОННЫХ СТРОИТЕЛЬНЫХ МАТЕРИАЛАХ**

Аннотация: В статье представлена аналитическая методика решения, позволяющая качественно оценить вклад внутреннего источника тепла в формирование температурного поля изделия с учётом тепловыделения при протекании экзотермической реакции гидратации, а также влияния солнечной радиации в процессе структурообразования многокомпонентных цементных материалов.

Ключевые слова: источник тепла, гидратация, излучение, солнечная радиация, многокомпонентные цементные материалы, теплоперенос, лучепоглощение, тепловыделение, термообработка

*Alinazarov Alisher Khaidaralievich
Candidate of Technical Sciences (PhD),
Professor, Department of Construction and Installation of Engineering
Communications
Khaydarov Sherzod Ergashalievich
Associate Professor,
Department of Construction and Installation of Engineering Communications*

Namangan State Technical University

Namangan, Republic of Uzbekistan

**AN ANALYTICAL METHOD FOR SOLVING THE PROBLEM OF
DETERMINING THE POWER OF AN INTERNAL HEAT SOURCE
TAKING INTO ACCOUNT SOLAR RADIATION IN COMPOSITE
BUILDING MATERIALS**

Abstract: An analytical solution method is presented that makes it possible to qualitatively assess the contribution to the formation of the temperature field in a product with heat release during an exothermic reaction, taking into account solar radiation during the structure formation of multicomponent cement-based materials.

Keywords: heat source, hydration, radiation, solar radiation, multicomponent cement materials, heat transfer, radiation absorption, heat release, heat treatment

Введение

Мощность объёмного внутреннего источника тепла (q_v), обусловленного выделением теплоты гидратации, изменяется во времени в зависимости от температурного режима и коэффициента лучепоглощения золоцементного изделия полиструктурного строения [1, с. 106].

Изменение величины (q_v) во времени при фиксированной средней температуре можно приближённо представить в виде кусочно-непрерывной функции (r) (рис. 1а)

$$q \approx \sum_0^m \sigma_0(\tau - \tau_0) \quad (1)$$

или в виде ломаной функции

$$q \approx \sum_0^m (V_m - V_{m-1})(\tau - \tau_m) \sigma_0(\tau - \tau_m), \quad (2)$$

где $\sigma_0(\tau - \tau_m)$ - единичная функция Хевисайда, при

$$\tau > \tau_i \quad \sigma_0(\tau - \tau_i) = 1, \text{ при } \tau < \tau_i \quad \sigma_0(\tau - \tau_i) = 0; \quad (3)$$

V_m - скорость равномерного изменения мощности источника q при $r-r_m$, $\text{Bt/m}^3 \cdot \text{c}$;

τ_m - время m -ого изменения мощности источника и скоростей равномерного подъема или спада мощности q (рис. 1 б).

(V_m) — скорость равномерного изменения мощности источника тепла (q) на интервале ($t_{m-1} < t < t_m$), $\text{Bt/m}^3 \cdot \text{c}$;
 (t_m) — момент изменения мощности источника тепла и скорости её линейного возрастания или убывания (рис. 1б).

С учётом того, что

$$1, \tau > \tau_m$$

$$F(r) = \sum_0^m q_m \sigma_0(\tau - \tau_m), \sigma_0(x) = 0 \quad \rceil (4)$$

$$0, \tau < \tau_m$$

получаем изображение функции по Лапласу:

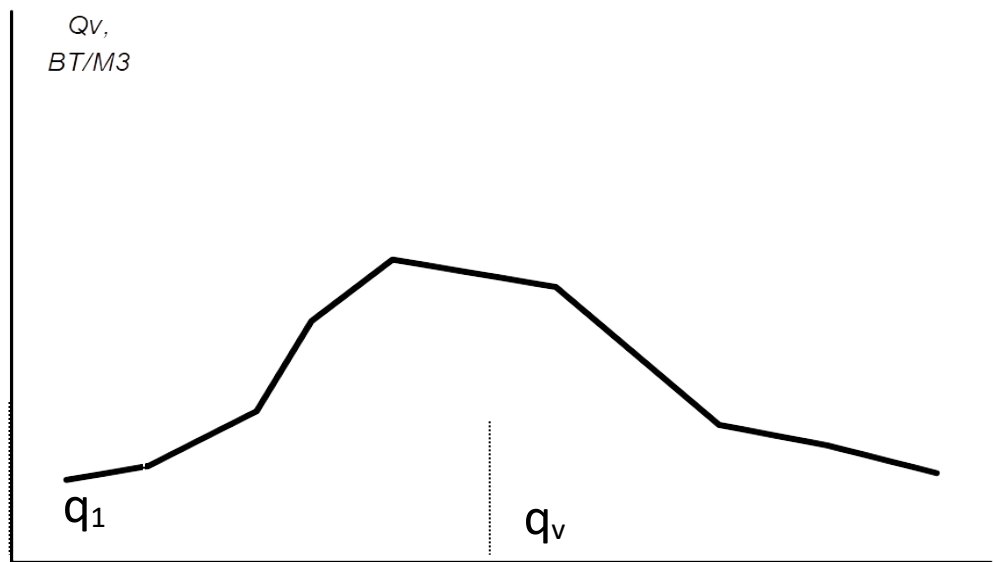
$$F(S) = \sum_0^m q_m \cdot \text{EXP}(-stm)/S + \sum_0^K q_l \cdot K_n \quad (5)$$

$$F(r) = \sum_0^m (V_m - V_{m-1})(\tau - \tau_m) \cdot \sigma_0(\tau - \tau_m);$$

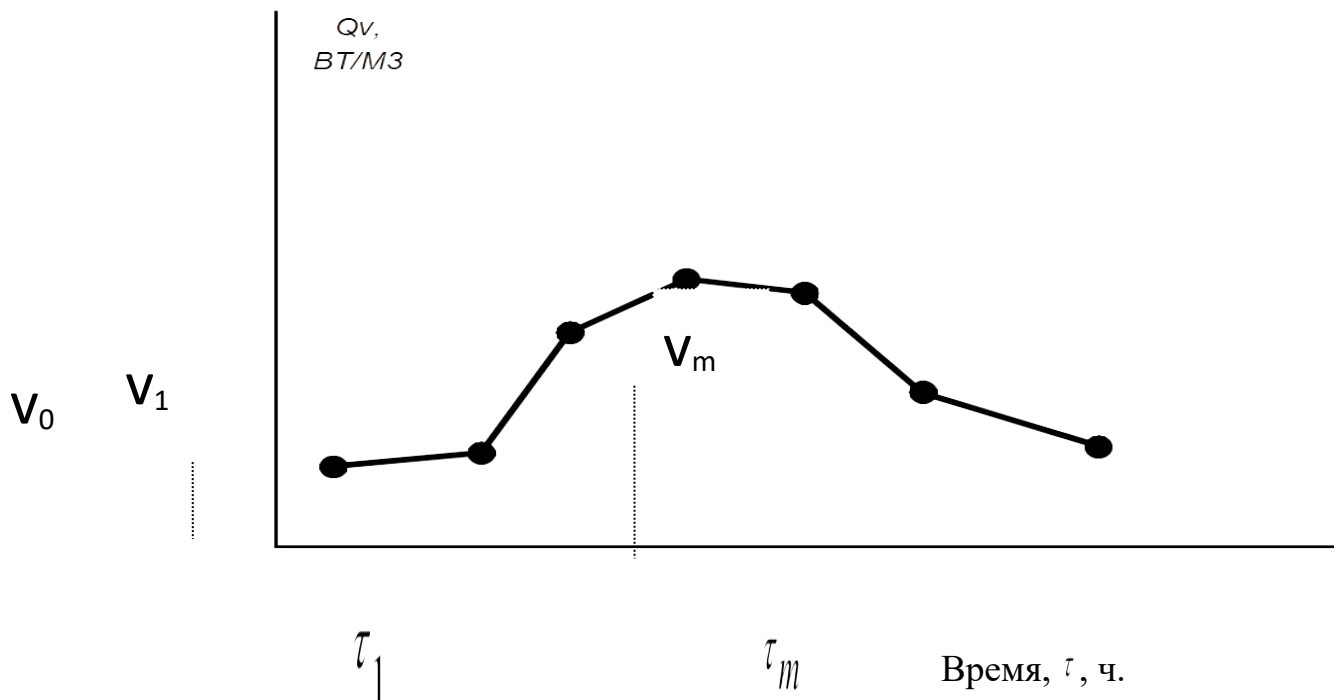
$$F_S = \sum_0^m (V_m - V_{m-1}) \cdot \text{EXP}(-stm)/S + \sum_0^K q_l \cdot K.$$

(6)

a)



б)



Аппроксимация реальной кривой изменения мощности внутреннего источника тепла (q): а — кусочно-непрерывной функцией; б — ломаной функцией.

Начальное распределение температуры по толщине структурообразующего золоцементного изделия считается равномерным и равным (t_0). В начальный момент времени образец помещается в среду с температурой ($t_c > t_0$), которая поддерживается постоянной в течение всего процесса нагревания [2–4].

Требуется определить распределение температуры по толщине образца и тепловой поток в любой момент времени при условии, что теплообмен с окружающей средой происходит по закону Ньютона.

Начало координат помещается в середину толщины пластины, при этом её общая толщина равна $2l$. Внутри образца действует внутренний источник тепла удельной мощности q_v , являющийся функцией времени [5, 6].

Математическая постановка задачи

Дифференциальное уравнение теплопроводности имеет вид:

$$dt(x,r)/d = a \ drt(x,r)/dx^2 + q_v(r)/c\rho;$$

$$(r > 0, -l < x < l) \quad (7)$$

при начальном условии

$$t(x,0) = t; \quad (8)$$

$$dt(0, \tau) = 0 \quad (10)$$

$$dx - dt(l, \tau)/dx + [\alpha/\lambda t_c - f(l, \tau)] = 0. \quad (9)$$

и граничных условиях

В уравнении (7) удельная мощность источника тепла определяется зависимостями (1) или (2).

Решение задачи

К уравнению (7) применяется интегральное преобразование Лапласа.

В результате получаем выражение для изображения температуры:

$$T_l^*(x, s) = \frac{1}{\alpha} \left[T_l(x, s) - \frac{t_0}{s} \right] + \dots \quad (10)$$

Решение уравнения с учётом начального условия (8) имеет вид:

$$T_l^*(x, s) = \frac{t_0}{s} = \frac{1}{c\rho} \sum_{n=0}^{\infty} q_n e^{nx} \quad (11)$$

Постоянная интегрирования (А) определяется из граничного условия (10), которое в образах Лапласа принимает форму:

$$-T_l(l, s) + \frac{\alpha}{\lambda} \left[\frac{t_c}{s} - T_l(l, s) \right] = 0. \quad (12)$$

После подстановки и преобразований получаем:

$$T_l(l, s) = A ch \sqrt{\frac{s}{a}} sh \sqrt{\frac{1}{a}} l, \quad (13)$$

а при $x = l$

$$T_l(l, s) = A ch \sqrt{\frac{s}{a}} sh \sqrt{\frac{1}{a}} l. \quad (14)$$

В результате окончательное выражение для изображения температуры принимает вид:

$$A \sqrt{\frac{s}{a}} \left(sh \sqrt{\frac{s}{a}} l - \frac{\alpha}{\lambda} ch \sqrt{\frac{s}{a}} l \right) = \frac{\lambda}{\alpha} \left(\frac{t_c - t_0}{s} - \frac{1}{c\rho} \sum_{n=0}^{\infty} q_n \frac{\exp(-s\tau_m)}{s^2} \right); \quad (15)$$

Переходя к оригиналу функции, получаем распределение температуры в виде:

$$A = \frac{\frac{t_c - t_0}{s} - \frac{1}{c\rho} \sum_{n=0}^{\infty} q_n \frac{\exp(-s\tau_m)}{s^2}}{ch \sqrt{\frac{s}{a}} l + \frac{\alpha}{\lambda} \sqrt{\frac{s}{a}} sh \sqrt{\frac{s}{a}} l}; \quad (16)$$

Частные режимы тепловой обработки

В случае не мгновенного, а плавного подъёма температуры окружающей среды в первом периоде со скоростью

$$T_l(x, s) - \frac{t_0}{s} = \frac{1}{c\rho} \sum_0^m q_n \frac{\exp(-s\tau_m)}{s^2} + \frac{(t_c - t_0)ch\sqrt{\frac{s}{a}}x}{s \left[ch\sqrt{\frac{s}{a}}l + \frac{\alpha}{\lambda} \sqrt{\frac{s}{a}}sh\sqrt{\frac{s}{a}}l \right]} \\ - \frac{\frac{1}{c\rho} \sum_0^m q_n \frac{\exp(-s\tau_m)}{s^2}}{s^2 \left[ch\sqrt{\frac{s}{a}}l + \frac{\alpha}{\lambda} \sqrt{\frac{s}{a}}sh\sqrt{\frac{s}{a}}l \right]}; \quad (17)$$

температура в центре образца ($t(x, \tau)$, определяется выражением:

$$\theta = \frac{t(x, \tau) - t_0}{t_c - t_0} = 1 + \frac{1}{2} \sum_0^m (\tau - \tau_m) P_{0m} \cdot \left[1 - \frac{x^2}{l^2} + \frac{2}{B_i} \right] - \\ - \sum_{n=1}^{\infty} \left[1 + \frac{1}{\mu_n^2} \sum_0^m \frac{P_{0m}}{\mu_n^2} \right] \cdot A_n \cdot \cos \varphi_n \frac{x}{l} \exp(-\mu_n^2 \tau). \quad (18)$$

Во втором периоде — изотермической выдержки — температурное поле описывается зависимостью:

$$P_{om} = \frac{q_m \tau_0 (\tau - \tau_m) l^2}{\lambda (t_c - t_0)}. \quad (19)$$

Если рассматривается не мгновенный подъем температуры на границе изделия, а постепенный, то для первого периода подъема температуры со скоростью [1. стр. 110.].

$$V = (t_{max} - t_0) / \tau_0$$

имеем:

$$t(\bar{x}, \bar{\tau}) = V \tau_{CT} \left[\bar{\tau} - \frac{1 - x^2}{2} + 2 \sum_{n=1}^{\infty} (-1)^{n+1} \frac{\cos \mu_n^2 \bar{x}}{\mu_n^3} \cdot \exp(-\mu_n^2) \right] + \\ \sum_0^m (\eta_n - \eta_{n-1})(\tau - \tau_k) \left[\frac{1 - x^2}{2} - 2 \sum_{n=1}^{\infty} (-1)^{n+1} \frac{\cos \mu_n^2 \bar{x}}{\mu_n^3} \cdot \exp(-\mu_n^2)(\tau - \tau_k) \right]; \quad (20)$$

а динамика температуры в точке $x = 0$ (посередине образца)

(21)

Для второго периода (изотермическая выдержка):

$$t(0, \tau) = V\tau_{cm} - \frac{1}{2}[(1-\varphi_{l,\tau})-(1-\varphi_{l,\tau})] + \frac{1}{2} \sum_0^m (\eta_k - \eta_{k-1})(\tau - \tau_k)[1 - \varphi_l(\tau - \tau_k)] \quad (22)$$

Заключение

Полученные аналитические решения для нестационарного температурного поля позволяют качественно оценить влияние коэффициента лучепоглощения солнечной радиации на процесс формирования температурного режима в изделиях из композиционных строительных материалов.

Учёт тепловыделения при экзотермической реакции твердения вяжущего вещества в сочетании с воздействием солнечной радиации позволяет более точно прогнозировать температурные поля и оптимизировать режимы гелиотеплохимической обработки золоцементных материалов.

Список использованной литературы

1. Алиназаров А.Х. Энергоэффективная теплотехнология получения золоцементных композиционных материалов: монография. — М.: Русайнс, 2019. — 166 с.
2. Алиназаров А.Х., Мамаджонов М., Хайдаров Ш. Влияние солнечной радиации при интенсификации твердения золоцементных строительных материалов // Cognitio Rerum. — 2017. — С. 10–12.
3. Жураев Х.Т., Хайдаров Ш.Э. Численное моделирование нестационарных температурных полей в композиционных строительных материалах // Молодой учёный. — 2016. — №12. — С. 214–219.

4. Bažant Z.P., Kaplan M.F. Concrete at High Temperatures: Material Properties and Mathematical Models. — London: Longman, 1996. — 412 p.
5. Neville A.M. Properties of Concrete. — 5th ed. — London: Pearson Education, 2011. — 844 p.
6. Mazhidov N.N., Khaydarov Sh.E. Numerical analysis of transient temperature fields in cement-based materials with radiation absorption // Journal of Building Physics. — 2004. — Vol. 28, No. 1. — P. 45–56.
7. Neville A.M., Brooks J.J. Concrete Technology. — 2nd ed. — Harlow: Pearson Education, 2010. — 480 p.
8. Bažant Z.P., Thonguthai W. Pore pressure and drying of concrete at high temperatures // Journal of the Engineering Mechanics Division. — 1978. — Vol. 104, No. EM5. — P. 1059–1079.
9. Schindler A.K., Folliard K.J. Heat of hydration models for cementitious materials // ACI Materials Journal. — 2005. — Vol. 102, No. 1. — P. 24–33.
10. Cervera M., Oliver J., Prato T. Thermo-chemo-mechanical model for concrete. I: Hydration and aging // Journal of Engineering Mechanics. — 1999. — Vol. 125, No. 9. — P. 1018–1027.